

Устранение сингулярностей в двумерной модели движения частиц в аксиально-симметричном поле

Предложена новая система цилиндрических координат, позволяющая исключить искусственные сингулярности из уравнений движения частиц и ускорить моделирование аксиально симметричных электронно-оптических систем.

Ключевые слова: теорема Буша, двумерная модель, аксиально-симметричное поле

Разработки современных вакуумных СВЧ приборов требуют значительного объема численного моделирования и оптимизации электронно-оптической системы и других узлов лампы. Для этого требуется некоторая иерархия моделей (и программ) начиная с быстрых (хотя менее точных) двумерных моделей и кончая точными трехмерными моделями. По этой причине для моделирования движения электронов в аксиально-симметричных полях широко используются двумерные программы. Они позволяют решать только 2 дифференциальных уравнения на каждую крупную частицу (трубку тока) (для ρ, z) вместо трех уравнений в декартовой системе:

$$\ddot{\rho} = \rho \dot{\varphi}^2 + F_\rho \quad \ddot{z} = F_z \quad (1)$$

благодаря интегралу движения (теореме Буша)

$$\dot{\varphi} = \frac{e}{2\pi\rho^2 m} [\Phi(\rho, z) - \Phi(\rho_0, z_0)] \quad (1a)$$

где F_ρ, F_z – компоненты силы, действующей на частицу, $\Phi(\rho, z) = 2\pi \int_0^\rho B_z(\rho, z) \rho d\rho$ –

магнитный поток через окружность радиуса ρ , а ρ_0, z_0 – соответствующие величины при старте частицы. Здесь рассмотрен нерелятивистский случай, обобщение на релятивистские пучки очевидно. Однако использование традиционных цилиндрических координат ρ, φ сталкивается с известной трудностью: в уравнениях возникает искусственная сингулярность при приближении частицы к оси $\rho \rightarrow 0$. Фактически это связано с тем, что в выражении $\rho = \sqrt{x^2 + y^2}$ функция квадратного корня имеем сингулярность в нуле. Это приводит к ухудшению точности расчета, необходимости существенного уменьшения временных шагов и увеличению времени счета, возникновению артефактов в результатах. На Рис. 1 показаны такие сингулярности на примере движения частиц в однородном магнитном поле как вблизи, так и вдали от оси. Показаны траектории трех физически эквивалентных частиц, движущихся на азличных расстояниях от оси $\rho = 0$. Очевидно, что, несмотря на эту эквивалентность, их цилиндрические координаты изменяются по-разному, проходя через сингулярность при пересечении оси.

Данная проблема решалась усреднением сил, действующих на крупную частицу, по ее объему [1, 2].

Новые цилиндрические координаты

Вместо традиционных цилиндрических координат ρ, φ мы используем новые переменные:

$$u = \rho^2, \quad w = \int \rho \dot{\varphi} dt \quad (2)$$

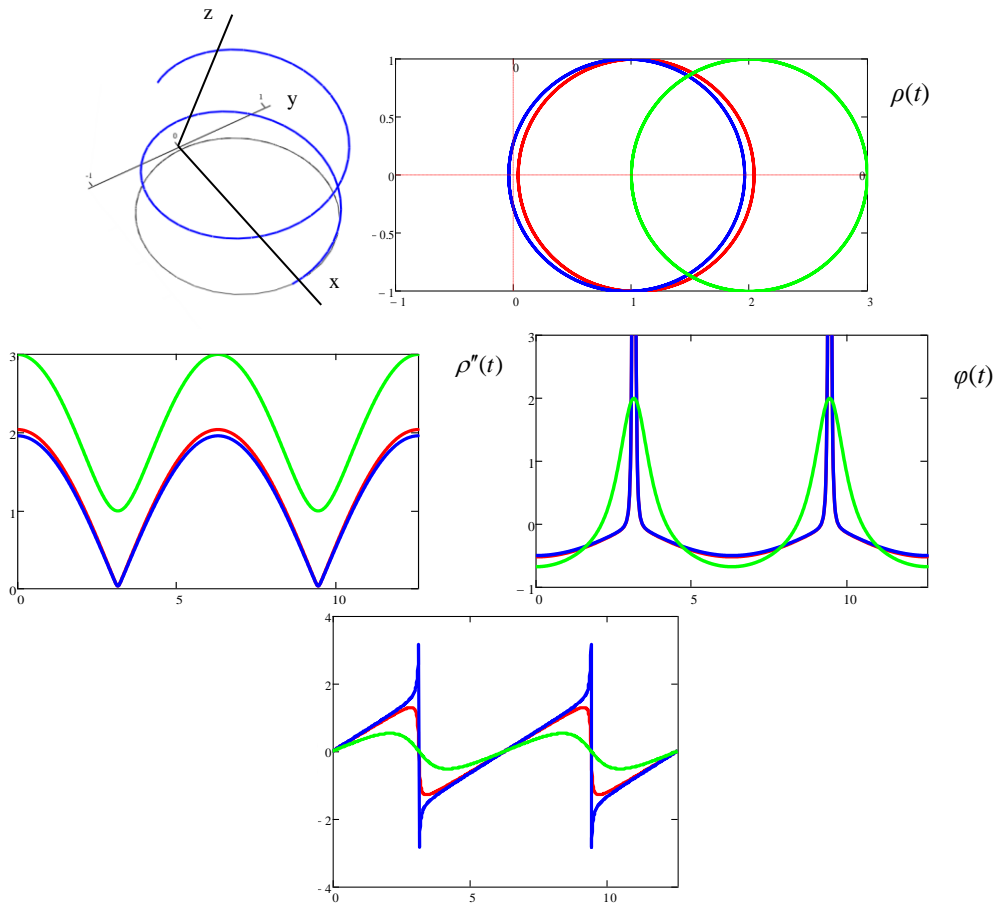


Рис 1. Траектория частицы в однородном магнитном поле (а); проекции на плоскость xy траекторий 3х частиц, проходящих вблизи начала координат (б); временные зависимости $\rho(t)$, ее производной $\rho''(t)$ и $\varphi(t)$ для этих частиц.

Для них уравнения движения:

$$\ddot{u} = \frac{\dot{u}^2}{2u} + 2\sqrt{u}F_\rho + 2\dot{w}^2 \quad \ddot{w} = F_\varphi \quad \ddot{z} = F_z \quad (3)$$

не имеют актуальных сингулярностей при $u = 0$ в отличие от (1а). С учетом теоремы Буша они сводятся к:

$$\ddot{u} = \frac{\dot{u}^2}{2u} + 2\sqrt{u}F_\rho + \frac{2}{u} \left[\rho_0^2 \dot{\varphi}_0 + \frac{e}{2\pi mc} (\tilde{\Phi}(u, z) - \tilde{\Phi}(u_0, z_0)) \right]^2 \quad (4)$$

где $\tilde{\Phi}(u, z) = \Phi(\sqrt{u}, z)$. Переменные $u(t)$, $w(t)$ меняются медленно и регулярно (Рис. 2), так что соответствующие уравнения могут решаться весьма эффективно.

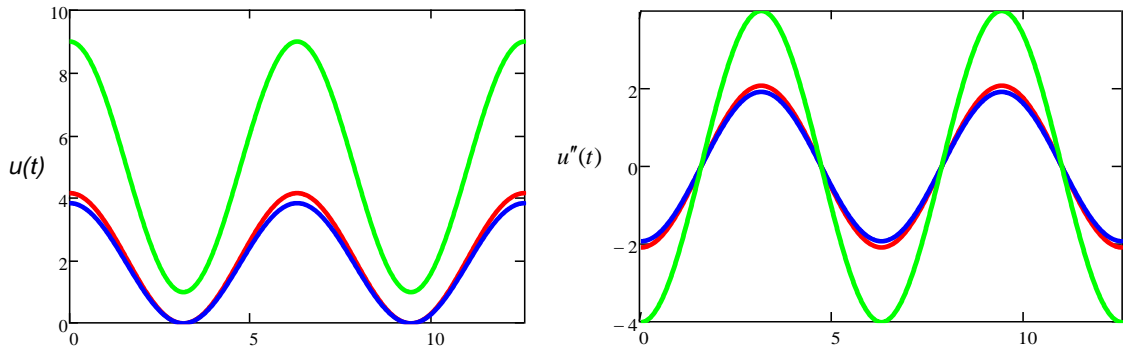


Рис 2. Зависимость $u(t)$, $u''(t)$ для частиц, проходящих вблизи от оси и вдали от нее.

Следует отметить, что в аксиально-симметричной системе вч поля имеют зависимость от радиуса вида $I_0(k_{\perp} r)$ и могут быть представлены в виде ряда по целым степеням u , что позволяет полностью отказаться от использования координат ρ , φ .

Приближение для слабопульсирующего потока

Описанный подход может быть использован при разработке двумерных программ для моделирования произвольных аксиально симметричных систем.

Рассмотрим важный частный случай фокусировки пучка в канале произвольной магнитной системой (МПФС, соленоидом и т.п.). В этой ситуации на электроны действуют только внешнее магнитное поле и электрическое поле пространственного заряда. Более того, если пульсации пучка не слишком велики, в уравнении Пуассона можно пренебречь продольной компонентой электрического поля E_z по сравнению с поперечными силами, что дает одномерное уравнение, которое интегрируется в явном виде:

$$\frac{1}{\rho} \frac{\partial}{\partial \rho} \rho E_{\rho} = \frac{\sigma}{\varepsilon_0} \quad \text{или} \quad F_{\rho}(u, z) = eE_{\rho} = \frac{1}{2\varepsilon_0 \sqrt{u}} \int_0^u \sigma(u, z) du$$

где $\sigma(u, z)$ – плотность пространственного заряда. Таким образом, мы имеем (1+1)D-мерную модель, комбинируя одномерную быструю модель для уравнений движения и явное решение одномерного уравнения Пуассона. Полученная (1+1)D-мерная программа более чем на порядок превышает по быстродействию традиционную двумерную программу и позволяет проводить оптимизацию магнитных систем, например МПФС для спиральных ЛБВ. Типичный результат счета - траектории электронов пучка, проходящего через МПФС, показан на Рис. 3.

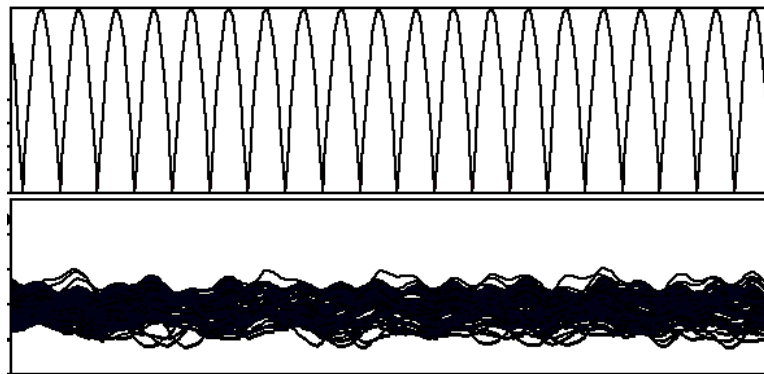


Рис 3. Профиль модуля продольной компоненты магнитного поля МПФС и траектории электронов фокусируемого трубчатого пучка.

Заключение

Введение новых переменных u , w позволило избежать сингулярностей в уравнениях движения для аксиально симметричных систем и разработать быстродействующий (1+1)D код для моделирования фокусировки электронных пучков магнитными системами.

1. Библиографический список

2. Солнцев В.А., Ведяшкина К.А. Двумерные модели и нелинейные уравнения аксиально-симметричных потоков. Электронная техника, Сер. 1, Электроника СВЧ, 1975, Вып. 2, с.34-44.
3. Солнцев В.А., Ведяшкина К.А. Численный анализ двумерных моделей аксиально-симметричных электронных потоков. Электронная техника, Сер. 1, Электроника СВЧ, 1975, Вып. 4, с.60-72.
4. A.V. Galdetskiy, On 2D simulation of particles motion in axially symmetric field in Proc. of Int. Vacuum Electronics Conf. IVEC-2012, Monterey, 2012. Available at (http://ieeexplore.ieee.org/xpl/articleDetails.jsp?tp=&arnumber=6262189&searchWithin%3Dp_Authors%3AQT.Galdetskiy%2C+%2FA%2F.V..QT.%26searchWithin%3Dp_Author_Ids%3A37272766900%26sortType%3Ddesc_p_Publication_Year)